

## АВТОМАТИЗОВАНА СИСТЕМА МАТЕМАТИЧНИХ РОЗРАХУНКІВ АКУСТИЧНИХ ТА ПРУЖНИХ ВЛАСТИВОСТЕЙ ГІРСЬКИХ ПОРІД ЗА ДАНИМИ УЛЬТРАЗВУКОВИХ ВИМІРЮВАНЬ

Запропонована автоматизована система чисельного аналізу і візуалізації даних ультразвукових вимірювань параметрів анізотропії швидкостей пружних квазіпоздовжньої, "швидкої" і "повільної" квазіпоперечних хвиль гірських порід. Досліджено ефекти параметрів анізотропії порід-колекторів за результатами ультразвукових вимірювань для складних напружено-деформаційних умов. Вставлено ромбічний тип акустичної анізотропії, що пов'язаний з текстурними особливостями, речовинним складом та складноупорядкованою мікротріщинуватістю порід.

**Ключові слова:** автоматизована система; акустична анізотропія; швидкості пружних хвиль; мікротріщини.

**Вступ.** Чисельний аналіз, математичне моделювання і експериментальні дослідження параметрів анізотропії ультразвукових (УЗ) швидкостей пружних хвиль, характеристик акустичного тензору  $\mu_{ij}$  дозволяють встановлювати особливості напружено-деформованого стану гірських порід [Александров, Продайвода, 2000]. Інтенсивний динамотермальний метаморфізм, що накладався на породи, призвів до структурно-механічного перетворення їх при різних рівнях тисків  $P$  та температур  $T$  в анізотропних полях напружень  $\sigma$ . Ці перетворення мали свій відбиток у структурно-текстурних особливостях порід. Планальна структура означає, що породи в момент свого утворення перебували в умовах квазісебічного літостатичного тиску; аксіальна структура свідчить про наявність директивних напружень  $\sigma$ .

Комплексний підхід до аналізу результатів вимірювання УЗ досліджень на зразках гірських порід, що полягає в оцінці акустичного тензору  $\mu_{ij}$  при залученні інших геологічних характеристик породи (літологічних, петрологічних) дозволяє вирішити ряд задач, пов'язаних із встановленням характеристик анізотропії пружних властивостей порід [Вижва, 2004].

**Район робіт, методи та об'єкти досліджень.** Були відбрані зразки порід-колекторів із різних структурних зон Волино-Подільського регіону: Володимирівської, Великомостівської, Сокальської і Сушнівської площ. У текстурному малюнку досліджуваних порід спостерігався перехід від брекчіювання до часткової мілонітизації та філонітизації. Розмір пор у дрібнозернистих пісковиців складав близько  $d \approx 50$  мкм присутні як відкрита так і закрита види пористості.

Фазові швидкості об'ємних пружних хвиль одержані за допомогою імпульсної установки для УЗ вимірювань швидкостей на частоті  $f \approx 1,67$  МГц. У випромінювачу і приймачу повздовжніх  $V_{\parallel}$  і поперечних  $V_{\perp}$  мод коливань пружних хвиль використовувалася п'єзокварци відповідної поляризації. Точність визначення фазових швидкостей

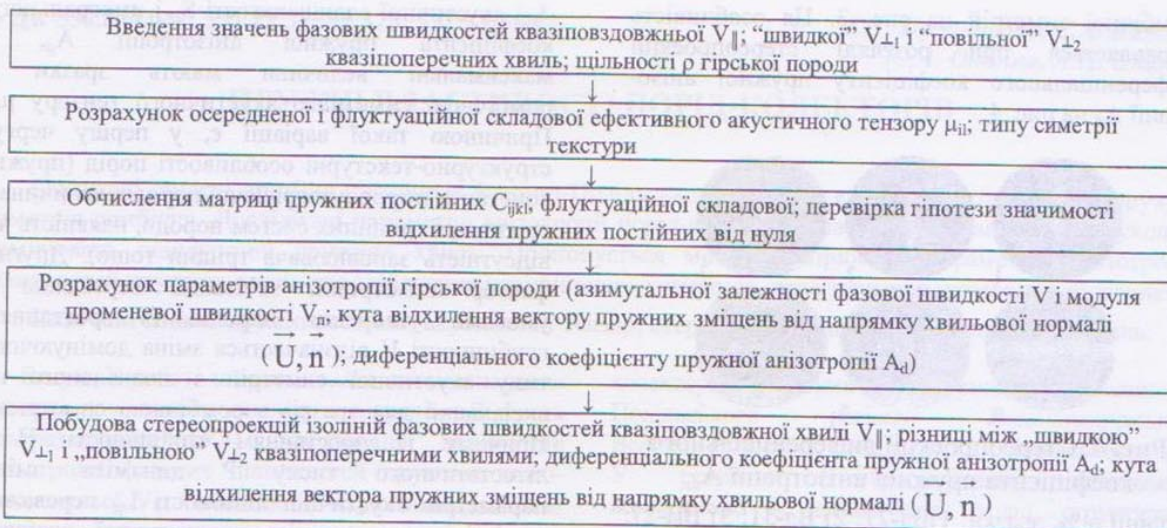
повздовжніх та поперечних мод  $\Delta V/V \approx 0,5\%$ .

**Мета і задачі дослідження.** Задачею цього дослідження є показ ефективності застосування методу використання вимірювань параметрів анізотропії швидкостей пружних хвиль  $V$  з точки зору встановлення основних типів акустичної анізотропії, зв'язку її з геологічними умовами існування гірських порід.

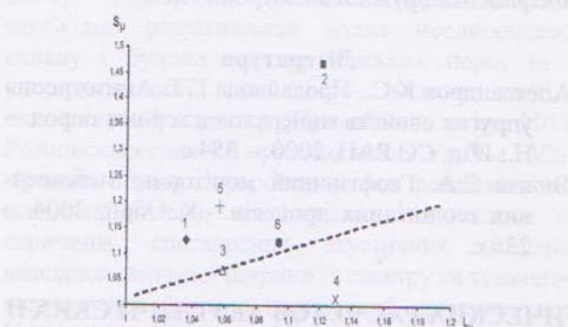
**Результати дослідження.** Результати вимірювань оброблялися за допомогою автоматизованої системи чисельного аналізу і візуалізації даних ультразвукових вимірювань параметрів анізотропії швидкостей пружних хвиль гірських порід, опис якої наведено нижче. Принципова схема алгоритму роботи цієї системи представлена на рис.1.

Швидкості пружних хвиль  $V_{\parallel}$ ,  $V_{\perp 1}$  і  $V_{\perp 2}$ , акустичні константи  $\mu_{ij}$  і пружні постійні  $C_{ijkl}$  пісковиків змінюються в широких межах, що пов'язане із варіаціями їх літологічного складу і складом цементу, наявністю пор і мікротріщин на фоні існування інтенсивної азимутальної анізотропії фазових швидкостей  $V$  пружних хвиль різної поляризації. Аналіз пружних констант  $C_{ijkl}$  дозволив встановити чисельні значення анізотропії зразків: акустичну лінійність  $L_{\mu}$ , акустичну сланцеватість  $S_{\mu}$ , інтегральний коефіцієнт пружної анізотропії  $A_{\mu}$  тип симетрії  $N$  акустичного тензору  $\mu_{ij}$ . Зазначені параметри описують в чисельному виді форму акустичного еліпсоїду, а саме акустична лінійність  $L_{\mu} = \mu_g/\mu_m$  і акустична сланцеватість  $S_{\mu} = \mu_m/\mu_p$ , де  $\mu_g$ ,  $\mu_m$  і  $\mu_p$  – відповідно найбільше, проміжне і найменше власні значення акустичного тензору  $\mu_{ij}$ .

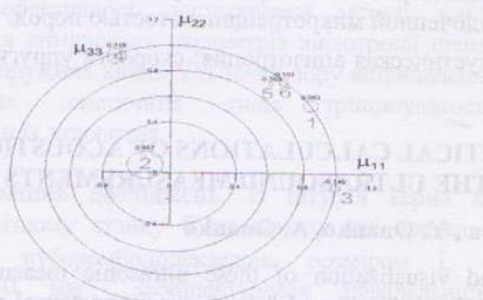
**Обговорення результатів.** Залежність акустичної лінійності  $L_{\mu}$  від акустичної сланцеватості  $S_{\mu}$  текстур досліджуваних зразків гірських на рис. 2 показує міру упорядкованості елементів текстури породи вздовж окремих напрямків (лінійна орієнтація, що відповідає акустичній лінійності) або вздовж площин (шаруватість, сланцеватість, що відповідає акустичній сланцеватості).



**Рис. 1.** Принципова схема алгоритму роботи автоматизованої системи чисельного аналізу і візуалізації даних ультразвукових вимірювань параметрів анізотропії швидкостей пружних хвиль гірських порід.



**Рис. 2.** Діаграми залежності акустичної лінійності  $L_{\mu}$  від акустичної сланцеватості  $S_{\mu}$  текстур зразків; сухільна лінія розмежує планальні і аксіальні текстири; зразки: 1) Вл-27; 2) Вл-31; 3) Вм-27; 4) Со-20; 5) Су-18; 6) Су-19



**Рис. 3.** Полярна діаграма параметрів акустичного тензору  $\mu_{11}$ ,  $\mu_{22}$ ,  $\mu_{33}$ ; зразки: 1) Вл-27; 2) Вл-31; 3) Вм-27; 4) Со-20; 5) Су-18; 6) Су-19

Результати аналізу параметрів акустичного тензору  $\mu_{ii}$  показали декілька головних тенденцій. Відстежується квазілінійна залежність між величинами  $L_{\mu}$  і  $S_{\mu}$  на рис. 2, що вказує на

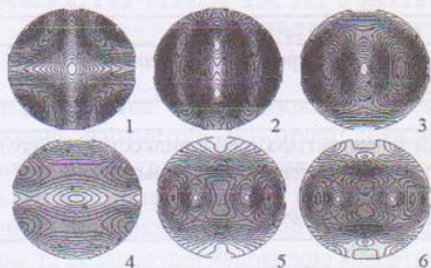
спільну причину їх формування, що супроводжується також збільшенням інтегрального коефіцієнту пружності анізотропії  $A_{\mu}$ . Вплив структурно-текстурних особливостей породи є домінуючим на формування акустичної симетрії (кристалографічні осі, орієнтація структурних елементів: зерен, мікротріщин). Інтегральний коефіцієнт пружності анізотропії  $A_{\mu}$  досліджуваних зразків змінюється в широких межах:  $6,25\% < A_{\mu} < 19,48\%$  і складає, у середньому  $A_{\mu} \approx 9,99\%$ .

Вплив глибинності  $H(P)$  (літостатичного тиску  $P$ ) на  $A_{\mu}$  неоднозначний - на малих глибинах  $H$  проявляється лінійна залежність  $A_{\mu} = kH$  від глибини. Із збільшенням глибини  $H$  відзначається помітне зниження  $A_{\mu}$ . Помічено, що з глибиною  $H$  відбувається зростання впливу планальної компоненти симетрії акустичного тензору  $\mu_{ii}$  і зменшення аксіальної.

Найбільш виражені типи акустичної симетрії проявлені в пісковиках, і на противагу, для зразку вапняку властиве найменш виражений тип симетрії і найнижча величина інтегрального коефіцієнту анізотропії  $A_{\mu}$ . До того ж у нього виявлені найбільш високі значення фазових швидкостей  $V_{\parallel}$  і поперечних  $V_{\perp}$  і пружних постійників  $C_{ijkl}$ . Всі зразки (окрім пісковика із Сокальської площею, Со-20) володіють планальним типом симетрії акустичного тензору  $\mu_{ii}$ ; зразок із аксіальною симетрією акустичного тензору (Со-20) має один із найнижчих величин коефіцієнту інтегральної пружності анізотропії  $A_{\mu}$ . Не відзначається суттєвих статистично значимих відмінностей латерального розподілу  $A_{\mu}$  зразків на рис. 3.

Результати аналізу симетрії акустичного тензору  $\mu_{ii}$  показують, що досліджувані текстири порід-колекторів по співвідношенню власних значень акустичного тензора можна віднести до

ромбічної симетрій на рис. 3. Ця особливість проявляється при розгляді стереопроекції диференціального коефіцієнту пружної анізотропії  $A_d$  на рис. 4.



**Рис. 4.** Стереопроекції диференціального коефіцієнта пружної анізотропії  $A_d$ , ізолінії в %, зразки: 1) Вл-27; 2) Вл-31; 3) Вм-27; 4) Со-20; 5) Су-18; 6) Су-19.

**Висновки.** Аналіз параметрів акустичного тензору  $\mu_{il}$  зразків порід-колекторів Волино-Подільського регіону показав наявність принаймні дворівневої природи анізотропії пружних властивостей. Перший фактор анізотропії формується за рахунок речовинного складу, орієнтованого розташування зерен мінералів у породі, тріщин, текстурних особливостей. Він найбільш виражений у домінуючій літологічній групі зразків – пісковиках. Для пісковиків характерні найвищі діапазони зміни параметрів акустичної лінійності

$L_{\mu}$ , акустичної сланцоватості  $S_{\mu}$  і інтегрального коефіцієнта пружної анізотропії  $A_{\mu}$ , а максимальні величини мають зразки з ромбічною симетрією акустичного тензору  $\mu_{il}$ . Причиною такої варіації  $\epsilon$ , у першу чергу, структурно-текстурні особливості порід (пружні константи породоутворюючої породи, величина і орієнтація тріщинних систем породи, наявність чи відсутність заповнювача тріщин тощо). Другий фактор анізотропії, зв'язаний переважно з умовами утворення породи. Із зростанням глибинності  $H$  відзначається зміна домінуючого типу акустичної симетрії: з планального на аксіальний для зразків з ромбічною симетрією. Причому із зростанням глибинності  $H$  і лігостатичного тиску  $P$  динаміка зміни параметрів акустичної лінійності  $L_{\mu}$  переважає над відповідною зміною акустичної сланцоватості  $S_{\mu}$ . Ця тенденція проявляється на фоні загального зростання  $A_{\mu}$  але тільки для проміжних глибин; подальше зростання глибинності  $H$  приводить до зниження інтегрального коефіцієнта пружної анізотропії  $A_{\mu}$ .

#### Література

- Александров К.С., Продайвода Г.Т. Анизотропия упругих свойств минералов и горных пород. – Н.: Изд. СО РАН, 2000. – 354 с.  
Вижва С.А. Геофизичний моніторинг небезпечних геологічних процесів. –К.:Обрії, 2004. – 236 с.

## АВТОМАТИЗИРОВАННАЯ СИСТЕМА МАТЕМАТИЧЕСКИХ РАСЧЕТОВ АКУСТИЧЕСКИХ И УПРУГИХ СВОЙСТВ ГОРНЫХ ПОРОД ЗА ДАННЫМИ УЛЬТРАЗВУКОВЫХ ИЗМЕРЕНИЙ

Г.Т. Продайвода, С.А. Вижва, Ю.А. Онанко, А.П. Онанко

Предлагается автоматизированная система численного анализа и визуализации данных ультразвуковых измерений параметров анизотропии скоростей упругих квазипродольной, "быстрой" и "медленной" квазипоперечных волн в горных породах. Исследованы эффекты параметров анизотропии пород-коллекторов по результатам ультразвуковых измерений для сложных напряженно-деформационных условий. Определен ромбический тип акустической анизотропии, который обусловлен текстурными особенностями, вещественным составом и сложноупорядоченной микротрешиноватостью пород.

**Ключевые слова:** автоматизированная система; акустическая анизотропия; скорости упругих волн; микротрещины.

## THE AUTOMATED SYSTEM OF MATHEMATICAL CALCULATIONS OF ACOUSTIC AND ELASTIC PROPERTIES OF ROCKS FROM THE ULTRASOUND MEASUREMENTS

G. Prodavoda, S. Vyzhva , Y. Onanko, A. Onanko

The automated system of numerical analysis and visualization of these ultrasonic measurements of anisotropy parameters of velocities of elastic quasi-longitudinal, "fast" and "slow" quasi-transversal waves in rocks is offered. The effects of anisotropy parameters of rock-collectors are explored from the ultrasound results measurements for the complicated tense-deformed conditions. Orthorhombic type of acoustic anisotropy is discovered for rock specimens this is determined with texture, composition and rocks compound-ordered microfracturing.

**Key words:** automated system; acoustic anisotropy; elastic waves velocities; microcracks.